

1962年全国腐蚀和防护科学技术会议

# 报告集

1962年全国腐蚀和防护科学技术会议报告集编辑委员会编

## 1962年全国腐蚀和防护科学技术会议

### 报告集编辑委员会名单

石声泰 余柏年 沈增祚 穆纪生  
萧纪美 董康民 左景伊 杜发一  
郑纯涛 史宗法 张铭勋

### 1962年全国腐蚀和防护科学技术会议报告集

1962年全国腐蚀和防护科学技术会议  
报告集编辑委员会 编

---

上海科学技术出版社出版(上海瑞金二路450号)  
上海市书刊出版业营业许可证出093号

---

中华书局上海印刷厂印刷 新华书店上海发行所发行

开本787×1092 1/16 印张22 12/16 捕页4 排版字数447,000  
1964年5月第1版 1964年5月第1次印刷  
印数1—3,000

统一书号：15119·91 定价（十四）3.80元

# 目 录

## 一、金属腐蚀和耐蚀金属材料

|  |                                   |     |
|--|-----------------------------------|-----|
| 1. 金属辐射腐蚀国外研究情况介绍  | 余柏年                               | 1   |
| 2. 几种有色金属的大气腐蚀试验   | 广州电器科学研究所                         | 10  |
| 3. 工业大气对金属腐蚀的影响  | 广州电器科学研究所上海试验站                    | 22  |
| 4. 在有微生物厌气腐蚀的土壤中阴极保护作用的初步研究  | 呂人豪 孔祥荃 張寿清 区嘉輝                   | 37  |
| 5. 金属的钝化与过钝化现象   | 华保定                               | 55  |
| 6. 奥氏体铬-镍不锈钢在沸腾 65% 硝酸腐蚀中的影响因素   | 徐克薰                               | 65  |
| 7. 铬锰氮不锈钢在硝酸和硫酸中的腐蚀和电化学行为  | 韓文安 左景伊                           | 75  |
| 8. 铬锰氮不锈钢的晶间腐蚀性能的研究  | 周有铭 姚汉武                           | 82  |
| 9. 熔盐法在钢铁上渗铬   | 石声泰 冯明仁 范耀檀 林联灏 曹铁樑               | 91  |
| 10. 金属间化合物 $\text{NiAl}_3$ , $\text{FeAl}_3$ 和 $\text{NiFeAl}_9$ 的腐蚀和电化学性质 | 陈俊明 戴亚芬                           | 104 |
| 11. $\alpha$ 黄铜中砷对脱锌的抑制作用  | 陈俊明 朱相荣                           | 117 |
| 12. 用外加电流防止海水腐蚀的研究   | 火时中                               | 129 |
| 13. 含镁量高的铝镁合金在浓硝酸中的腐蚀稳定性研究   | 朱永昌 蒋金助 常汝魁 赵淑瑞 呂惠彬 辛九范           | 142 |
| 14. 铝铸铁在碳酸氢铵溶液中的化学稳定性试验  | 徐康丁                               | 154 |
| 15. 氨、碳酸铵及铜的水溶液对几种金属材料的腐蚀速度研究  | 楊守志 張芝祥 陈家鑄                       | 165 |
| 16. 由电位变化观察镀铅层在硫酸中的腐蚀情况  | 赵永鎬 郝忠文                           | 174 |
| 17. 电镀锌铜镍三元合金解决锌铜合金层的泛白点现象   | 上海市輕工业研究所                         | 179 |
| 18. 梯形电镀试验仪——改良的赫尔电解池  | 广州电器科学研究所                         | 190 |
| 19. 金属腐蚀强度变化的分析(摘要)  | 陈俊明                               | 197 |
| 20. 自氯-氟化物溶液中电镀 Sn-Cd 和 Sn-Zn 合金(摘要)                                       | 第一机械工业部材料保护与热处理研究所 武汉大学化学系物理化学教研室 | 199 |
| 21. 化学镀镍总结报告(摘要)   | 錦西化学工业公司                          | 201 |
| 22. 阴极保护用铅合金阳极材料的研究初步总结(摘要)  |                                   |     |

|                                   |             |     |
|-----------------------------------|-------------|-----|
| .....                             | 葉康民 林应新 凌金珠 | 204 |
| 23. 酸性鉛蓄電池柵架合金的耐腐蝕性能的研究(摘要) ..... | 楊洪業         | 206 |
| 24. 低合金鑄鐵在矿水中耐腐蝕情況的初步探討(摘要) ..... | 曾文中 羅俊明等    | 208 |
| 25. 电力机車整流器冷却系統緩蝕劑——硼酸鈉(摘要) ..... |             |     |
| .....                             | 铁道部铁道科学研究院  | 211 |

## 二、耐蝕非金屬材料及其他

|   |                        |     |
|---|------------------------|-----|
| 1. 在湿热带条件下金属涂漆系統的选择 .....               | 何德泉                    | 213 |
| 2. 防止黃銅腐蝕用的冷固型鈍化漆 .....                 | 华保定 刘德泽 李連甲 李桂芝        | 225 |
| 3. 石墨电极的行为和电偶腐蝕 .....                   | 左景伊 邱有德                | 233 |
| 4. 耐稀酸水泥的研究 .....                       | 何琼瑜 任德和                | 243 |
| 5. 混凝土碳化对鋼筋锈蝕的影响 .....                  | 洪定海 周永福 郭恒权            | 253 |
| 6. 研究水玻璃耐酸耐碱水泥中几个問題的探討 .....            | 許麗霓                    | 268 |
| 7. 水玻璃耐酸混凝土的耐稀酸、耐水和空气稳定性問題 .....        | 徐兰洲                    | 277 |
| 8. 化学药物对光学仪器鏡片上霉菌毒力的測定 .....            | 陈家平 陈曉雯                | 286 |
| 9. 工业器材的防霉 .....                        | 鍾耀明 区嘉麟                | 296 |
| 10. 試用聚氯乙烯塑料管總結報告 .....                 | 南京化学工业公司永利厂            | 306 |
| 11. 重有色溫法冶金工厂液槽防腐蝕內衬非金属材料的选择 .....      | 張君丰                    | 313 |
| 12. 氨碱法碳化塔、吸收塔用无缝钢管涂酚醛清漆耐腐蝕室內試驗報告 ..... |                        |     |
| .....                                   | 大連化学工业公司設計研究院          | 321 |
| 13. 对发展我国防锈封存材料的几点建議(摘要) .....          | 周靜好                    | 330 |
| 14. 国外包装材料的进展(摘要) .....                 | 李少正                    | 331 |
| 15. 建筑結構防腐蝕設計中的几个問題的探討(摘要) .....        | 化学工业部技术司               | 332 |
| 16. 有侵蝕性的冶金厂房建筑使用水泥的几点体会(摘要) .....      | 尹震华                    | 334 |
| 17. 鋼筋在混凝土中的腐蝕試驗報告(摘要) .....            |                        |     |
| .....                                   | 建筑工程部第四工程局建築科学研究所      | 337 |
| 18. 用煤瀝青塑料做銅电解槽耐酸衬里(摘要) .....           | 張文良                    | 339 |
| 19. 瀝青涂料改性研究阶段总结报告(摘要) .....            | 蔣本文                    | 341 |
| 20. 聚异丁烯板接縫熔接工艺問題(摘要) .....             | 黃季爻 張婷婷                | 344 |
| 21. 环氧改性呋喃树脂涂料的研究初步总结(摘要) .....         | 張汝添 朱崇鈞                | 346 |
| 22. 瀝青瑪𤧛脂热稳定性的改善(摘要) .....              | 黃季爻 宁汝惠                | 347 |
| 23. 硅漆的常溫干燥問題(摘要) .....                 |                        |     |
| .....                                   | 林尚安 楊維增 黃世英 張遠和 余康 馮允公 | 348 |
| 24. “鑄型合瓷”的研究(摘要) .....                 | 梁鼎猷 陳建邦等               | 351 |

# 金属辐射腐蚀国外研究情况介绍

余 柏 年

(中国科学院应用化学研究所)

## 一、緒 言

在原子能愈来愈广泛地应用到人类生活中的时候。研究各种射线对材料性能的影响，特别是对耐腐蚀性能的影响，已成为普遍关注的问题。

辐射腐蚀是腐蚀学科中一个新的方向。国外在这方面研究工作的开展还不到十年。

## 二、金属在大气中的辐射腐蚀

Аллен А.<sup>[1]</sup>指出，当有放射性的辐射下，气体中的腐蚀并非研究的对象。他提出众所周知的事实，回旋加速器和阴极管的射出管内并没有腐蚀现象，虽然其中通过强有力的辐射流。这一事实似乎证明辐射对金属的大气腐蚀并无显著的影响。但是这种看法被以后的工作者所否定。Lintner<sup>[2]</sup>等研究了各种设备在放射性的潮湿大气

表 1 在相对湿度为 98% 的大气中、20°C 时辐照对各种金属腐蚀的影响

| 照 射 源                  | 时 間<br>(小 时) | 照 射 的 金 属    | 照 射 以 后 样 品 的 外 形   | 增 重<br>(克 / 样 品) | 腐 蚀 速 度<br>(克 / 米 <sup>2</sup> 小 时) |
|------------------------|--------------|--------------|---------------------|------------------|-------------------------------------|
| 电子管<br>800 千伏; 4.1 微安  | 16           | 铁            | 为連續的紅棕色腐蚀产物膜所遮盖     | 0.0247           | 0.88                                |
| X光管<br>БФВ-70          | 30           | 铁            | 为連續的紅棕色腐蚀产物膜所遮盖     | 0.0165           | 0.62                                |
| 钴源<br>Co <sup>60</sup> | 100          | 铁            | 为点腐蚀损坏所遮盖           | 0.0040           | 0.045                               |
| 电子管<br>800 千伏; 4.1 微安  | 16           | 铜            | 边缘为铸造的色彩，中间为棕红色腐蚀产物 | 0.0120           | —                                   |
| 电子管<br>800 千伏; 4.1 微安  | 16           | 铝            | 个别的白色腐蚀斑点           | 0.0023           | —                                   |
| 电子管<br>800 千伏; 4.1 微安  | 16           | 1X18H9T<br>钢 | 无可见的腐蚀痕迹            | 0.0000           | 0                                   |
| 电子管<br>400 千伏; 4.1 微安  | 16           | 锌            | 为白色的腐蚀产物所遮盖         | 0.0053           | —                                   |

注 在所有的试验中，另外布置一套平行的腐蚀试验，但是没有照射，此时金属保持原来的形式，并无任何变化。

中腐蚀加剧的原因，证明是由于表面吸收辐射微粒的能量时受热不均匀，引起了保护氧化膜的破损，使在金属表面上产生了添加的腐蚀原电池。Neumann<sup>[3]</sup>等指出青铜在潮湿大气中受 $\alpha$ -及 $\beta$ -射线作用发生显著的腐蚀。Бялобжеский<sup>[4,5,6]</sup>经研究得到，辐射不仅能加强铁的大气腐蚀，并且也能加强铜、锌等的大气腐蚀，如表1所示。

从表中看到，对铝的腐蚀较少，而不锈钢完全未观察到腐蚀的加强。

照射强度的增加即剂量率的增加，一般加强铁的腐蚀速度。但是 Бялобжеский 得到意外的结果，如表2所示。上面的样品为最强的电子流所照射，吸收了最大的能

表 2 辐照强度对阿姆考铁在 98% 相对湿度的大气中腐蚀的影响

| 照 射 源          | 电 流    | 试验时间(小时) | 增重(克/样品) |        |
|----------------|--------|----------|----------|--------|
|                |        |          | 上 面      | 下 面    |
| 电子管，800千伏      | 4.1 微安 | 10       | 0        | 0.0183 |
|                | 1.0 微安 | 10       | 0.0060   | 0.0061 |
|                | 0.4 微安 | 10       | 0.0043   | 0.0021 |
| БФВ-70Х光管，50千伏 | 200 毫安 | 10       | 0.0050   | 0.0018 |
|                | 50 毫安  | 10       | 0.0006   | 0.0000 |

量( $4.1$  微安时吸收  $1.9 \times 10^{19}$  电子伏/厘米<sup>3</sup>·秒)，但完全不腐蚀。这是由于吸收了大量能量后使样品加热，导致金属表面上水膜去除，而这一层水膜为进行大气腐蚀过程所必须的。根据直接焊在样品上的热电偶，上面样品的温度经 6 分钟照射后已达到  $175^{\circ}\text{C}$ ；可是下边的样品（吸收能量为  $6.8 \times 10^{17}$  电子伏/厘米<sup>3</sup>·秒）加热到  $31^{\circ}\text{C}$  以后保持此温度不再变化。若将上面的样品用水冷却，那么在它照射的表面上就导致强烈的腐蚀。若在干燥的大气中（用  $\text{P}_2\text{O}_5$  来干燥），则在任何情况下都不会发生辐射腐蚀。因而在辐射下的大气腐蚀和通常的大气腐蚀一样，具有电化学腐蚀的机构。辐射腐蚀时也存在有临界温度，但它的界限不是在一般情况下的 50~70%，而是在 10~30% 的范围内。这证明辐射不改变大气腐蚀的性质，而仅提高它的强度。

辐射加速大气腐蚀的原因，可能是由于腐蚀介质组成的变化，或者是金属表面状态的变化。为了弄清哪一个因素起主要作用，作者在仪器中放两块样品，其间用 5 毫米厚的铅板隔开，然后用电子流照射。上面一块样品吸收了  $2.8 \times 10^{16}$  电子伏/秒的能量，假如忽略了扩散的影响，则下面一块样品没有吸收什么。重复的试验指出，两块样品同样的遭受腐蚀。这显然证明对轻质点辐射加速大气腐蚀起主要作用的是大气辐射反应的产物，而不是金属表面状态的变化。这些大气辐射产物既包括长期生存产物如  $\text{H}_2\text{O}_2$ 、 $\text{N}_2\text{O}_5$ 、 $\text{O}_3$  等，又包括短期生存产物如  $\text{OH}$ 、 $\text{HO}_2$ 、 $\text{O}$ 、 $\text{NO}_3$  等。它们都是很好的氧化剂，容易在金属的微阴极上还原，促进去极化过程，而加强了腐蚀。

Спицин 院士<sup>[7]</sup> 等研究了阿姆考铁及二号钢的大气腐蚀。他们先将样品放在反应堆中，经中子照射 48 小时后变成放射活性；然后在相对湿度为 100% 的大气中进行腐蚀试验。30 天以后，阿姆考铁的腐蚀比控制样品（没有活性的样品）大出 178 倍，而二号钢的腐蚀比控制样品大出 103 倍。 $\beta$  照射加速大气腐蚀的原因，既不是金属表面的阳极极化，又不是大气辐射分解产物的阴极去极化作用，因为剂量很小不可能生成很多的分解产物。作者们认为是由于氧化膜性质的变化，离子晶格的变化或缺陷引起离子导电增加，以及由于获得了补充电子产生辐射导电，使腐蚀产物膜变得更电导性，因而不阻止电子逸出金属，故加强了阴极过程。

### 三、金属在电解液中的辐射腐蚀

Фокин 等<sup>[8]</sup> 研究了氯化钠溶液中阿姆考铁和不锈钢的腐蚀速度。在快电子流（仿  $\beta$ -射线）的作用下，微分剂量为  $6.6 \times 10^{19}$  电子伏/厘米<sup>2</sup>·秒时，腐蚀速度增加 10 倍。他们认为腐蚀的加剧主要是由于电子照射作用所引起的阳极极化。利用锌保护器或阴极保护电流 150 微安/厘米<sup>2</sup>，可以将不锈钢在氯化钠溶液中的辐射腐蚀完全避免。他们又在电解液中引入还原剂，当比钢的钝化状态破坏时的阳极电位更负时，此种还原剂就氧化了。不锈钢在氯化钠和甲醛的溶液中当没有照射时，钢的钝态被破坏；而在辐照下就能防止腐蚀，作者们认为是由于甲醛的辐射接触氧化。

Колотыркин 等<sup>[9]</sup> 研究了硫酸溶液中不锈钢和镍在  $\gamma$ -射线作用下的电化学及腐蚀行为，微分剂量为  $1.5 \times 10^{15}$  电子伏/厘米<sup>2</sup>·秒。作者们得到：在  $\gamma$ -射线的辐射作用下，不锈钢在硫酸溶液中的腐蚀速度降低，而镍的腐蚀速度反而增高。他们解释了这种差别的原因。当不锈钢被照射时，电极电位朝正向转移 600~700 毫伏（1~3 小时），可是镍电极受射线作用时，虽亦导致电位朝正向移动，但数值很小，不超过 30~40 毫伏（即使试验延续了 20 小时）。比较钢和镍的阳极恒电位曲线，可以知道镍的活化溶解区域一直到达 +0.15 伏。要使得镍钝化，外加的极化电流值要超过  $10^{-2}$  安/厘米<sup>2</sup>；而对于钢来说，随着表面情况的不同，极化电流只要  $10^{-5} \sim 10^{-7}$  安/厘米<sup>2</sup> 就足够了。在照射的强度下，所形成的辐射氧化组分的还原速度足以使钢转变成钝化状态，但对镍来说比需要的电流值少几个数量级；所以镍在照射下的腐蚀速度不但不减缓，反而增大溶解速度 2~3 倍。这些结果证明，金属在辐照溶液中的腐蚀行为在很大程度上依赖于它转向钝化的能力。如果氧化组分（水辐射分解产物）的还原速度超过了电极钝化所必须的电流密度，则辐射作用使金属由活化状态转变为钝化状态，腐蚀速度降低。如果还原速度小于钝化电流密度，则辐射将加速金属的溶解。

在停止辐照后，镍与钢的电位行径也不同。对于镍是很快地回复到原来的数值；而对于钢则电位几乎不变。作者们认为这是由于溶液中存在有不同性质的氧化剂。在镍的情况下效应很快消失，可以解释成此时唯一的氧化组分是短寿命的辐射产物；

而在鋼的情况下由于在活性溶解区域有相当量的鐵轉入溶液中，为水的辐射产物所氧化，生成比較稳定的氧化剂，当停止照射后，其氧化性能并不馬上消失。

Розенфельд 等<sup>[10]</sup> 在 3% 氯化鈉溶液中将强度为 15 微安/厘米<sup>2</sup> 的快电子流作用于 Zr-Al、Zr-Fe 及 Fe-Al 电偶上，使电流强烈上升，超过照射前电流的 15~20 倍。在停止照射后，电流强烈下降，几乎回复到原始值。这种情况只有当阴极照射时才能观察到，而当阳极照射时就没有偶电流增大的效应。作者們分析了偶电流增大的原因，认为辐射升溫的影响并不强烈；长寿命的辐射产物亦不可能是产生这样强大电流的原因。短寿命的辐射产物对增大电流并不起主要作用。他們认为辐射引起金属上氧化膜电学性质的变化。大部分的金属氧化物是半导体，其电学性质对于外界的作用很灵敏。假如认为电偶的电流决定于氧还原阴极反应的速度，而此反应被阴极上高电阻的半导体膜所控制，那么照射能引起膜的辐射电导，增加阴极反应速度，使电偶电流强烈增加。

McIntosh<sup>[11~12]</sup> 等研究了不銹鋼在沸騰硝酸中的腐蝕速度，发现某些金属杂质的存在影响很大。能加速鋼腐蝕的这些金属往往是氧化还原偶对中的氧化組分；它們的标准氧化电位  $E^{\circ}$  位于 1.3 伏到 1.6 伏之間，特別是 Cr(VI)、Ce(IV)、V(V) 及 Ru(VII)。作者們认为加速不銹鋼腐蝕的原因在于这些金属能够提高溶液的氧化电位，这样同时加速了阳极和阴极的去极化。阳极去极化是氧化鋼上保护膜中的含水氧化鉻，使成鉻酸盐轉入溶液中，而阴极去极化是硝酸的还原和金属氧化組分的还原。当溶液中存在有辐射活性产物（如 Cs<sup>137</sup> 及 Sr<sup>90</sup>）时，辐射化学效应好象对溶液的氧化电位起了控制作用，因此亦对鋼的腐蝕行为起控制影响。辐射效应能促进氧化組分的还原，亦即防止鋼轉入过钝化而腐蝕。作者們发现辐射效应随着氧化-还原偶对中氧化电位的增加而加强。从 V(V)（氧化电位約 1.0 伏）的不被还原，經過 Cr(VI)（氧化电位約 1.3 伏）有时被还原，到 Ce(IV)（氧化电位約 1.6 伏）及 Ru(VII)（氧化电位約 1.5 伏）很快被还原。

Бялобжеский 等<sup>[13]</sup> 又研究了各种金属在潮湿的四氯化碳中的腐蝕。未經輻照时，所有研究的金属都不腐蝕，当被剂量为  $0.37 \times 10^{18}$  电子伏/厘米<sup>3</sup>·秒的 X 射線辐照 10 小时后，除去钛及鋯略有輕微腐蝕外，其他如含鉬不銹鋼、ЯИТ 鋼、鋁、蒙乃尔、碳鋼及銅等均遭强烈腐蝕。作者們认为腐蝕作用的加剧是由于在辐射下部分的四氯化碳分解成盐酸。同时水分經辐射分解生成 OH、HO<sub>2</sub> 等氧化剂作为强烈的阴极去极化剂，因此銅遭到的腐蝕损坏最为强烈。

Зив 等<sup>[14]</sup> 研究了  $\alpha$ -射線对于鉑和鋯在溴氢酸中腐蝕速度的影响。他們选用了放射性比活度从 0.31 到 1 居里/毫升的 Po<sup>210</sup> 溶液作为辐射剂。发现鉑的腐蝕速度仅略微增长，而鋯的腐蝕速度則增加約 100 倍。作者們认为腐蝕速度的增加是由于  $\alpha$ -射線在溶液中形成的原子溴、过氧化氢及其他辐照产物的作用所致。

Аллен<sup>[15]</sup>試驗了鋁样品在自来水及蒸餾水中的腐蝕速度。他用  $\gamma$ -射線照射，剂

率为 300,000 倍/小时, 发现照射样品的重量变化比未照射的为小。作者认为照射的基本作用在于加强溶液的氧化能力, 由于形成氧化性較强的自由基, 这一效应能使鋁上生成紧密的保护膜。

Аллен 又进行了銅和鐵在 2 克當量的鹽酸中的腐蝕試驗, 获得了相反的效应, 亦即在照射的作用下腐蝕上升。銅和鐵樣品經過  $5 \times 10^7$  倍的劑量照射后重量損失相應為 0.419 克及 5.23 克, 而未照射的樣品重量損失為 0.0392 克及 2.84 克。

Cartledge<sup>[16]</sup> 研究了不銹鋼在高溫的硫酸鈾酰水溶液中的腐蝕。發現鋼的腐蝕可以被  $TcO_4^-$  离子所阻抑;  $TcO_4^-$  比  $CrO_4^-$  更有效, 因为它对辐射无影响, 而且用的量很少 (10~15 毫克/升)。例如含錳的不銹鋼在  $250^\circ C$  放有  $0.004M$   $KTcO_4$  的硫酸鈾酰溶液中, 放經 14 小时以后, 鋼上遮蓋着薄而黑的緊密層; 而未保護的溶液中, 鋼上遮蓋着疏松的棕紅色氧化皮。

#### 四、反應堆中的輻射腐蝕試驗

已經知道, 在原子核內各種粒子特別是快中子照射的影響下, 使各種材料的物理性質及機械性質發生變化。這種變化的數值主要決定於質點的能量、積分劑量及照射時的溫度。金屬材料在重質點作用下機械性質的變化, 與冷作硬化有些相象。在兩種情況下性質變化的原因, 是由於正規晶格的破壞, 在晶格中出現了缺陷。某些實驗數據指出, 在核子作用下以及冷作所引起的塑性變形, 兩者間有本質上的不同。核子作用下所發生的破壞是非常複雜的。

Воронин<sup>[17]</sup> 等研究了在第一個原子能發電站反應堆的工作情況下, 輻照對奧氏體鋼、鐵素體鋼及鋁的機械性質的影響。輻照的積分中子數為  $0.9 \sim 3.4 \times 10^{20}$  中子/ $厘米^2$ , 溫度為  $450 \sim 650^\circ C$ 。照射後奧氏體鋼、鐵素體鋼和鋁的塑性強烈降低, 而強度及硬度增加。

Конобеевский<sup>[18]</sup> 等研究了銅、鎳、阿姆考鐵和鋁在中子流照射下性質的變化。積分中子數為  $1.1 \sim 1.4 \times 10^{20}$  中子/ $厘米^2$ , 照射溫度為  $250 \sim 300^\circ C$ 。除去鋁以外, 所有的材料經照射後都強化。這表示升高強度極限、顯微硬度, 降低相對延伸率及截面收縮率, 減少衝擊韌性。三種強化金屬中變化最大的是鐵(延伸率減少到  $1/3$ , 邁擊韌性減少到  $1/10$ ), 最小的是銅。這是由於銅和鐵、鎳相比有較低的重結晶溫度。對於鋁來說變化不大, 因為照射溫度高於它的重結晶溫度。

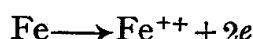
Pravdymk<sup>[19]</sup> 等研究了各種不銹鋼、低合金鋼和碳鋼等受中子流輻照後機械性質的變化。和其他作者所得的結果一樣, 鋼材經照射後強度極限及屈服點增加, 而延伸率減低。他們又研究了積分中子流的大小和這些機械性能變化最大值間的關係。照射後的低合金鋼在  $250 \sim 400^\circ C$  溫度範圍內回火 2 小時, 在相當程度上回復其原有的機械性質, 即強度極限及屈服點下降, 而延伸率上升。

Ибрагимов 等<sup>[20]</sup> 研究了快中子照射对于铁、镍、钼及某些不锈钢性质及结构的影响。经照射后，强度、硬度及电阻升高而相对延伸率下降。性质变化的程度决定于照射材料的本质，而钢组成的变化并不起重要影响。为了研究辐射发生的缺陷对于温度的稳定性，他们将照射的样品在不同温度下退火 30 分钟。每次退火后测定其显微硬度及电阻，结果发现由于辐照所获得的硬度增长的退火温度区域（即消除硬度的温度区域）对体心立方晶格的金属（铁，钼）来说，比面心立方晶格的金属（镍，奥氏体钢）来得大。要完全消除由于辐射增长的硬度所需的退火温度决定于材料的熔融温度。当其他情况完全相同时（例如相同的晶格），熔融温度愈高，退火温度也愈高。

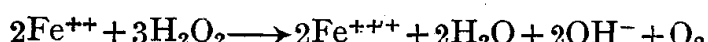
Герасимов<sup>[21]</sup> 等研究了 ЯИТ 不锈钢在反应堆活性区域被  $10^{12}$  中子/厘米<sup>2</sup>·秒的中子流照射的电化学行为，电解液为 0.01N NaCl 及 0.01N Na<sub>2</sub>SO<sub>4</sub>。照射并不变更 ЯИТ 钢在 0.01N Na<sub>2</sub>SO<sub>4</sub> 溶液中的阳极过程动力学。在钝化区域和在过钝化区域阳极过程的速度，照射后和未照射时一样。在 0.01N NaCl 溶液中，照射后 ЯИТ 钢的阳极极化曲线的性质仍旧保持。在钝化区域的阳极过程的速度实际上无变化，可是在过钝化区域的阳极极化曲线朝正向转移约 100~150 毫伏（比未照射时），在两种试验溶液中，照射下的阴极极化曲线，相当于氧离子化反应转向正值。这情况证明增大阴极过程的速度，即表示溶液中存在着辐射分解产物——短寿命的基团和过氧化氢。

增大阴极过程的速度，导致钢的稳定电位移向正值。由于这样，钝化状态的区域将减少；例如在氯化物溶液中，特别是当金属存在有拉伸引力时，在辐照作用下稳定电位朝正值转移，可能将钢引入过钝化区域，导致腐蚀速度增大。在硫酸钠溶液中照射时所建立的稳定电位相应于钝化状态区域，而在氯化物溶液中所建立的稳定电位接近于过钝化区域。

Бялобжеский 等<sup>[22]</sup> 在反应堆的实验管道中进行了金属腐蚀的研究。他们将置于 0.05N NaCl 溶液中的 Zr-Al、Zr-Fe、Fe-Al 等电偶放在热中子通量为  $2 \times 10^{12}$  中子/厘米<sup>2</sup>·秒的实验管道中测量其偶电流。偶电流在堆内和堆外检验性实验中有相同的上升和下降特征；这证明反应堆内影响偶电流上升的主要原因是由于电解质吸收辐射能而自身变热了。对于 Zr-Fe 偶在堆中的偶电流上升得特别快，作者们认为是由于辐射产物直接和间接的去极化作用，铁首先变成二价铁离子：



二价铁离子和水的辐射产物作用生成三价铁离子：



三价铁离子是很好的阴极去极化剂，



因此电解液内有铁离子存在时会使 Zr-Fe 偶有显著的腐蚀效应。

## 五、其他輻射腐蝕問題

據日本鋼鐵雜志報導<sup>[23]</sup>，為了選擇均勻反應堆的結構材料，研究了三種鎳鉻不銹鋼（含鉬 0.13%、3% 和不含鉬的）在硫酸鈾酰和硝酸鈾酰中的腐蝕速度，發現所有三種鋼的腐蝕速度都很小。 $\gamma$  射線照射使這些鋼在硝酸鈾酰中的腐蝕速度增加。

英國 Dawson<sup>[24]</sup> 發現在氣體載熱劑的反應堆中，中子流及  $\gamma$  射線照射對鎔的腐蝕速度無顯著影響。但在均勻堆中，鎔合金的腐蝕速度依賴於反應堆放出能量的大小。在能量大的反應堆中，鎔合金的腐蝕速度很大。作者認為這是由於鎔上保護膜受裂解產物的輻射和衝擊所致。

Primark<sup>[25]</sup> 等發現某些能遭受硝酸腐蝕的金屬及合金（即鎳、鈷、鉛、鋁、因康奈爾合金），在反應堆中潮濕空氣下輻照時會生成硝酸鹽及鹽基性硝酸鹽。這種腐蝕可以使堆的某些部分遭受強烈損壞。

Lintner<sup>[26]</sup> 等發現當有放射性存在時，會增加一些材料在空氣、水蒸氣及 3% NaCl 溶液中的腐蝕，如 99.5% 鋁、Al-Mn、Al+3%Mg、Al-Cu-Mg、Al-Mg-Si、Al-Zn-Mg 及矽鋁明(12%Si)等。作者們認為其原因為：(1)放射性促進 H<sub>2</sub>O<sub>2</sub> 的生成，因此加速腐蝕；(2) $\alpha$ -粒子穿入氧化膜，使腐蝕介質能穿透；(3) $\alpha$ -粒子打擊在金屬上發生局部加熱，產生了局部電池。

比利時專利<sup>[27]</sup> 指出，在鎳鉻奧氏體鋼中加入 0.0001~0.5% 的稀土金屬如鈰、鑥或者欒（較好的為 0.08% 鈰），能減少對輻射的敏感度。

日本 Gungj Shinoda<sup>[28]</sup> 等研究了鈾酰鹽對不銹鋼腐蝕的影響，發現當樣品在 680°C 加熱 100 小時後，含鉬及銅的 18-8 奧氏體鋼中碳化物沉淀極為顯著，而含錳的不銹鋼經常顯出較高的耐蝕性能。含銅及鉬的鋼耐應力腐蝕的性能差，而含錳的較好，被錳所穩定了的鋼加上應力後對耐蝕性几乎無影響。可以得出結論：不銹鋼中含鉬及銅對鈾酰鹽的腐蝕是不利的，而錳的存在經常是有利的。

波蘭 Herczyusku<sup>[29]</sup> 研究了金及鉑表面由於 Co<sup>60</sup> 的  $\gamma$ -射線輻照後（劑率為 800,000 倫/小時）對陰離子及陽離子會增加吸附。發現對 SO<sub>4</sub><sup>2-</sup> 及 Cs<sup>+</sup> 的吸附與時間成函數關係，在比較短的照射時間下，顯著增加吸附；繼續照射則回復到原有數值。這可以解釋為在照射的最初幾小時，生成了氧化層，繼續照射時由於發生輻射退火而破壞了這一氧化層。

## 六、結 語

根據上面的敘述可以看到，金屬輻射腐蝕的研究工作，國際上進行得還不多，而且比較零星分散，還沒有在某一領域中比較系統的大量工作。

辐照有时增加腐蚀，有时阻抑腐蚀，随金属的性质、介质的情况和辐照的条件而定。解释辐射腐蚀的机构，亦比较纷歧，尚无统一的见解。

腐蚀的现象本来是多种多样比较复杂的，引入了辐射的因素后，更使这一系统复杂化。它既影响金属的性质，又能促使介质的成分变化，更重要的是会影响金属和介质界面的性质。因此有必要弄清复杂系统中各种因素的影响，找出其控制因素，掌握其规律性，提出合理措施，延长金属材料在辐射条件下的使用寿命。总之，辐射腐蚀是腐蚀及防腐工作者必须予以重视的新课题。

### 参考文献

- [1] А. Аллен, Сборные научные и технические основы ядерной энергетики под ред. К. Тудмена ИЛ Стр. 224 (1950).
- [2] Lintner K., Nachtigall E., Schmid E., Metall, 11, № 31 (1957).
- [3] B. Neumann & E. Schmid, Metall, 9/10, 349 (1955).
- [4] А. В. Бялобжеский, ДАН СССР, 119, 515~517 (1958).
- [5] А. В. Бялобжеский, ЖФХ, Том. XXXIII, 1256 (1959).
- [6] А. В. Бялобжеский, 金属腐蚀及防护报告汇编, 机械工业出版社 (1959).
- [7] В. И. Спицин, К. Н. Яндускин, С. А. Балезин, И. М. Кулешов, ДАН СССР, 143, 1406 (1962).
- [8] М. Н. Фокин, Т. В. Матвеева, Н. Д. Томашов, А. В. Бялобжеский, В. Д. Вальков, Труды I. Всесоюзного совещания по радиационной химии, 150~5 (1958).
- [9] Я. М. Колотыркин, Н. Я. Бунэ, Г. С. Тюриков, Труды I. Всесоюзного совещания по радиационной химии, 143~9 (1958).
- [10] И. Л. Розенфельд, Е. К. Оше, Труды I. Всесоюзного совещания по радиационной химии, 156~9 (1958).
- [11] A. B. McIntosh Chemistry & Industry, June 1, 687~692 (1957).
- [12] A. B. McIntosh & T. E. Evans, Peaceful Uses of Atomic Energy, Vol. 17 (1958).
- [13] А. В. Бялобжеский, В. И. Лукинская, Атомная энергия, Том. 11, Вып 2, август, 170 (1961).
- [14] Д. М. Зив, И. А. Эррос, 原子能, 第3卷, 11期, 1071 (1958).
- [15] J. J. Harwood 主编, Влияние ядерных излучений на материалы (1961).
- [16] G. H. Cartledge, U. S. 2,837,474, June 3, 1958 从 C. A. 52 (1958) 17078 a.
- [17] И. М. Воронин, В. Д. Дмитреев, III. III. Ибрагимов, В. С. Ляшенко, Атомная энергия июнь (1960).
- [18] С. Т. Конобеевский, В. И. Кутайцев, Н. Р. Иравдюк, Мирное использование атомной энергии, Том. 7, 582 頁 (1955).
- [19] N. F. Pravdymk, S. T. Konobeevsky, A. D. Atayev & Y. I. Pohrovsky, Peaceful Uses of Atomic Energy, Vol. 5 (1958).
- [20] III. III. Ибрагимов, В. С. Ляшенко, А. И. Завьялов, Атомная энергия, Том. 8, вып. 5, 413~9 (1960).
- [21] В. В. Герасимов, В. Н. Александрова, Атомная энергия, Том. 10, фев, 164 (1961).
- [22] А. В. Бялобжеский, В. Д. Вальков, 原子能, 9期, 926~928 頁 (1961).
- [23] Kuroyanagi Takshi, Shinoda Nobaru, J. Iron & Steel Inst., Japan, 43 № 12 1312~7 (1957).
- [24] J. K. Dawson, Times Rev. Ind. 12 № 134 22~23 (1958).

- [25] W. L. Primark, L. H. Fuchs, Argonne National Lab. U. S. Atomic Energy Comm. Pubn. ANL-4763 (1952).
- [26] K. Lintner, E. Nachtigall, E. Schmid, Metall, **11**, № 1 31~35 (1957).
- [27] E. J. Kirschning, Belgain Patent, 595, 243, 从 Nuclear Sci. abs., Vol. 15 (1961) 21189.
- [28] Gungj Shinoda Tadao sano etc. Nippon kinzokn Gakkaishi **22** Oct. 500-3 (1958).
- [29] E. Herczyusku Naturwissenschaft **47** 224 (1960).

# 几种有色金属的大气腐蚀試驗

广州电器科学研究所

电工产品中广泛采用銅、鋁、鋅等有色金属和它們的合金，在选用这些金属时需要考慮的因素，除了物理性能、机械性能和工艺性能外，还必須考慮到它們的耐蝕性能。許多精密仪器設備的零件常常由于极輕微的腐蝕而导致整个設備无法繼續使用。在我国南方广大湿热地区，这种現象更为严重。为了弄清一些金属对我国南方气候的耐蝕性能，我們进行了大气暴露試驗。

## 一、試样及試驗条件

进行試驗的样品共有 18 种，它們的型号和組成成分見表 1。試样外形为长 7 厘米、直徑 1.0~1.4 厘米的圓棒，在制备时表面經過磨光处理，因此表面光滑、发亮、无斑点，每种相同样品共有 6 件，室內和室外各放一半。

样品試驗地点為广州电器科学研究所室內試驗棚(代号 K7)和室外暴露場(代号 K8)，試驗場地溫湿度記錄見图 1。

在进行試驗以前，所有样品都曾进行初始檢查，并称其重量。在試驗过程中定期記錄样品光泽度的变化，腐蝕点、斑、凹陷、附着物等的出現，并称其重量变化。样品表面的原始光泽度定为 100%，光泽度变化用肉眼觀察，以百分比表示。

試驗时样品用塑料綫固定在与地面成 45° 的木制样品架上，在試样挂出后的第 10 天、第 20 天及第 30 天各进行外观檢查一次，以后从样品挂出之日起算，每隔三个月檢查一次，外观檢查方法按照广州电器科学研究所金属样品試驗規程 T.S.G 1001-59 进行，称重試驗每隔三个月进行一次。

样品試驗日期为 1960 年 10 月至 1962 年 10 月，共 2 年。

## 二、試 驗 結 果

表 2、表 3 所列举的是各种金属的外观变化記錄。

表 4 是重量变化記錄。

图 2 至图 5 为各种金属的腐蝕-時間图。

表 1 样品名称及成分

| 样品序号 | 材料名称及型号        | 相当于苏联型号        | 合<br>金<br>成<br>分  |
|------|----------------|----------------|---|
| 1    | 铜 M-1          | MO             | Cu 为 99.96%, 余为杂质   |
| 2    | 黄铜 M-58        | —              | Cu 为 56.5~59.5%, Pb 0.1~3%, 余为 Zn   |
| 3    | 黄铜 MA-58       | —              | Cu 为 56~60%, Al 为 1.5~2.5%, Fe 为 0.5~1.5%, Mn 为 1~2%, 余为 Zn                         |
| 4    | 黄铜 MO-63       | —              | Cu 为 62~64%, Pb 为 1~2%, 余为 Zn   |
| 5    | 黄铜 M-63        | Л62            | Cu 为 62~64%, 余为 Zn  |
| 6    | 青铜 BrOO-4-3    | БрОЦ4-3        | 基本元素为 Cu, Sn 为 3.93%, Zn 为 3%, 余为杂质(0.046%)   |
| 7    | 青铜 BK-3-1      | БрКМц3-1       | 基本元素为 Cu, Si 为 2.8~3.5%, Mn 为 1~1.5%  |
| 8    | 青铜 BA-10-3-1.5 | БрАЖМц10-3-1.5 | 基本元素为 Cu, Al 为 10~46%, Fe 为 2.86%, Mn 为 1.62%, 余为杂质                                 |
| 9    | 锌白铜 NS-15      | MНц 15-20      | 基本元素为 Cu, Ni 为 13.5~16.5%, Zn 为 18~22%, 杂质 <0.9%                                    |
| 10   | 锌白铜 NS-20      | —              | 基本元素为 Cu, Ni 为 20.94%, Zn 为 15.89%, 杂质为 0.3065%                                     |
| 11   | 铝 A-1          | AO             | Al 为 99.7%, 余为杂质  |
| 12   | 耐蚀铝合金 PA-2     | —              | 基本元素为 Al, Mg 为 2.0~2.8%, Mn 为 1~1.6%, Si 为 0.7~1.2%                                 |
| 13   | 耐蚀铝合金 PA-4     | —              | 基本元素为 Al, Cu 为 3.8~4.9%, Mg 为 0.7~1.2%, Mn 为 0.6~1.0%                               |
| 14   | 杜拉铝 PA-7       | Д16            | 基本元素为 Al, Cu 为 3.8~5.9%, Mg 为 1.2~1.8%, Mn 为 0.3~0.9%                               |
| 15   | 铝合金 PA-12      | АК 4           | 基本元素为 Al, Cu 为 1.9~2.5%, Mg 为 1.4~1.8%, Fe 为 1.3~1.6%, Ni 为 1.0~1.5%, Si 为 0.5~1.2% |
| 16   | 铝合金 Z-41       | ЦАМ 4-1        | 基本元素为 Zn, Al 为 3.5~4.3%, Cu 为 0.7~1.2%, Mg 为 0.02~0.05%                             |
| 17   | 锌合金 Z-43       | ЦАМ 4-3        | 基本元素为 Zn, Al 为 3.5~4.5%, Cu 为 2.5~3.5%, Mg 为 0.02~0.05%                             |
| 18   | 锌合金 Z-40       | —              | 基本元素为 Zn, Al 为 3.5~4.3%, Cu ≤ 0.1%, Mg 为 0.02~0.05%                                 |

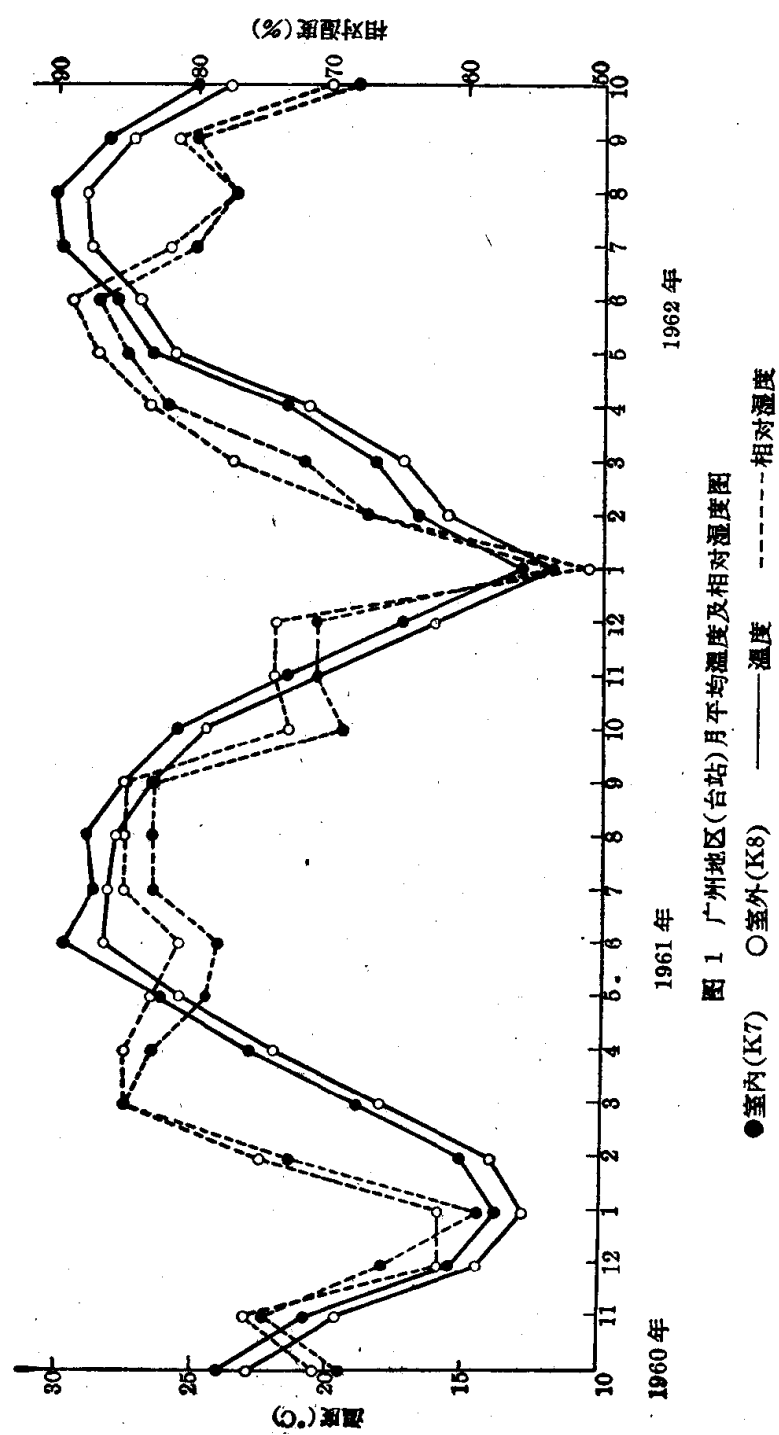


图 1 广州地区(台站)月平均温度及相对湿度图

●室内(K7) ○室外(K8) —— 温度 - - - 相对湿度

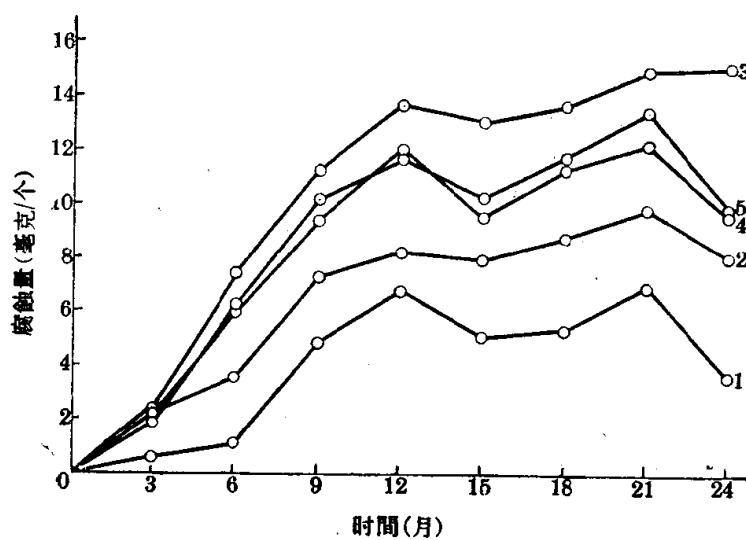


图 2 銅及銅合金腐蝕-時間圖(一)

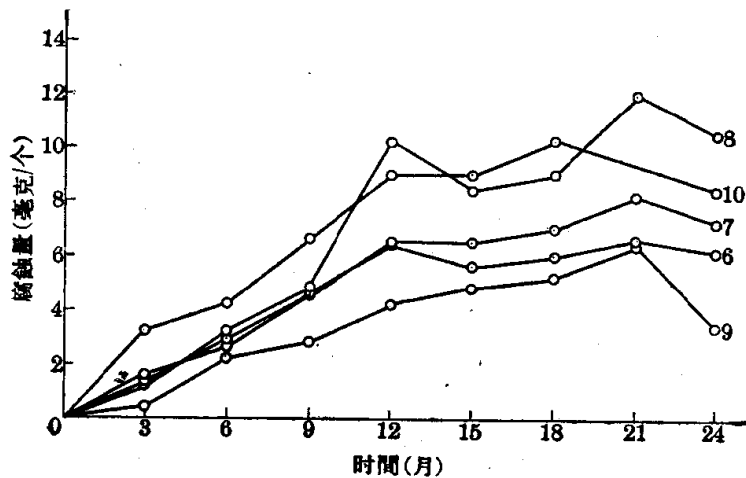


图 3 銅及銅合金腐蝕-時間圖(二)

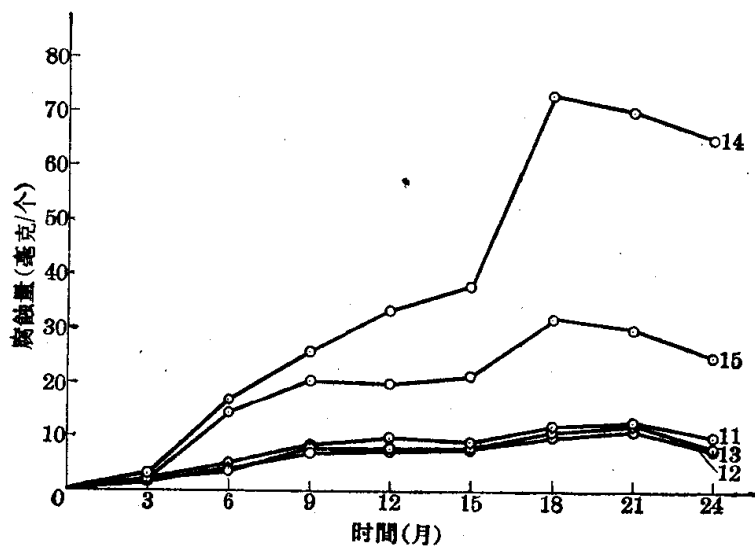


图 4 鋁及鋁合金腐蝕-時間圖